



**ЎЗБЕКИСТОН РЕСПУБЛИКАСИ
ОЛИЙ ВА ЎРТА МАХСУС ТАЪЛИМ ВАЗИРЛИГИ**

**МИРЗО УЛУҒБЕК НОМИДАГИ
ЎЗБЕКИСТОН МИЛЛИЙ УНИВЕРСИТЕТИ**

ЎЗБЕКИСТОН РЕСПУБЛИКАСИ ФАНЛАР АКАДЕМИЯСИ

“ШЎРТАН ГАЗ КИМЁ МАЖМУАСИ” МЧЖ

**КИМЁНИНГ РИВОЖИДА ФУНДАМЕНТАЛ,
АМАЛИЙ ТАДҚИҚОТЛАР ВА УЛАРНИНГ
ИСТИҚБОЛЛАРИ**



Республика илмий-амалий анжумани материаллари

22-23 сентябрь

Тошкент- 2022

**ЎЗБЕКИСТОН РЕСПУБЛИКАСИ
ОЛИЙ ВА ЎРТА МАХСУС ТАЪЛИМ ВАЗИРЛИГИ**

**МИРЗО УЛУҒБЕК НОМИДАГИ
ЎЗБЕКИСТОН МИЛЛИЙ УНИВЕРСИТЕТИ**

**Профессори, кимё фанлари доктори
АБДУШУКУРОВ АНВАР КАБИРОВИЧ**

таваллудининг 80 йиллигига бағишланган
**КИМЁНИНГ РИВОЖИДА ФУНДАМЕНТАЛ, АМАЛИЙ
ТАДҚИҚОТЛАР ВА УЛАРНИНГ ИСТИҚБОЛЛАРИ**

Мавзусидаги Республика илмий-амалий анжумани



2022 йил 22-23сентябрь

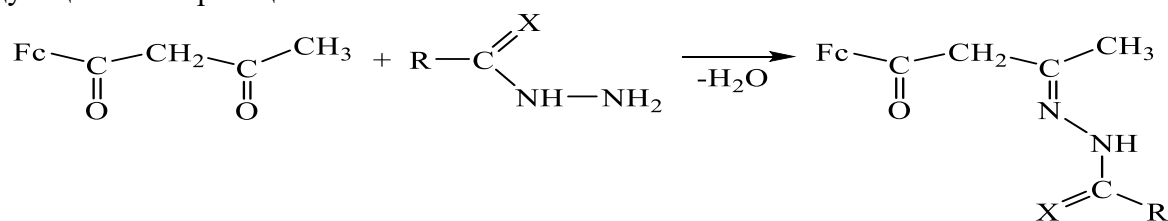
ОПТИЧЕСКИЕ СВОЙСТВА β -ДИКАРБОНИЛЬНЫХ ПРОИЗВОДНЫХ ФЕРРОЦЕНА

Д.х.н., проф. Умаров Б.Б., PhD, доц. Сулаймонова З.А.

Бухарский государственный университет

Синтез ферроценоилацетона (ФА, (1-Ферроценилбутандион-1,3)). На первом этапе синтеза нами была проведена реакция конденсации моноацетилферроцена (МАФ) с этилацетатом. Для осуществления данной реакции к раствору ацетилферроцена в этилацетата постоянно перемешивая магнитной мешалкой небольшими порциями добавляли металлический натрий. Реакционную смесь выдерживали в течение 5-6 ч при температуре 40-45°C. Полученный осадок натриевой соли производного ферроценоилацетона внесли в делительную воронку, охладили со льдом, добавили эфир и обработали 10%-ным раствором HCl. Продукт разложения сушили с MgSO₄. После удаления растворителя при охлаждении из маточника выпадает черная масса, которую обработали двукратно этиловым эфиром, в результате чего выпадает красный порошкообразный осадок. Полученный осадок отфильтровали, промывали водой, высушивали и перекристаллизовали из гексана. Получили темно-коричневые кристаллы с выходом 82% и Т.пл. 95-96,5°C.

Взаимодействием спиртовых растворов эквимольных количеств β -дикарбонильного соединения ферроценоилацетона со спиртовыми растворами гидразидов уксусной, бензойной, орто-, мета-нитробензойной, 5-бромсалициловой, фенилуксусной кислот и тиосемикарбазидом синтезированы новые лиганды H₂L¹-H₂L⁷, соответственно, последующей схеме реакции:



X=O: R=CH₃ (H₂L¹), C₆H₅ (H₂L²), *m*-NO₂-C₆H₄ (H₂L³), *n*-NO₂-C₆H₄ (H₂L⁴),
2-OH-5-Br-C₆H₃ (H₂L⁵), C₆H₅CH₂ (H₂L⁶). X=S, R=NH₂, (H₂L⁷).

Для выявления оптических свойств синтезированных соединений, нами сняты электронные спектры поглощения для всех полученных производных ферроцена в этаноле. Из электронных спектров поглощения определены положения максимумов поглощения ($\lambda^{\text{abs}}_{\text{max}}$) и значение начала поглощения ($\lambda^{\text{abs}}_{\text{onset}}$), а также значение коэффициента молярной экстинкции (ϵ) и рассчитаны на основе начала поглощения значения ширины запрещенной зоны (E_g^{opt}) (табл.1). В спектрах лигандов длинноволновый максимум в области 417-485 нм связан с внутримолекулярным переносом заряда и соответствует π - π^* переходам происходящих в циклопентадиенильной части молекул. В спектре моноацетилферроцена (МАФ) коротковолновый максимум 256 нм меняется в ферроценоилацетоне (ФА), максимумы поглощения при 450 ($\epsilon=2,94$) и 536 ($\epsilon=3,21$) нм показывают гипохромные эффекты [417 нм ($\epsilon=1,79$) и 459 нм ($\epsilon=1,91$)]. В спектре лигандов H₂L¹- H₂L⁷ исчезает длинноволновый максимум поглощения в области 310-536 нм. В спектре поглощения лиганда H₂L⁵, содержащего ауксохромы OH и Br, происходит ожидаемое увеличение интенсивности поглощения, $\lambda^{\text{abs}}_{\text{max}}=228$ нм ($\epsilon=3,42$), тогда как в спектре H₂L⁷ эта полоса поглощения претерпевает сдвиг в длинноволновую область (230 нм), а интенсивность поглощения снижается до $\epsilon=2,7$.

На основе приобретенных значений красной границы области поглощения, рассчитанные нами значения E_g^{opt} (табл.1) показывают, что исследованные в этой работе соединений можно отнести к узкозонным полупроводникам, для которых ширина запрещенной зоны составляет меньше или же около 2 эВ.

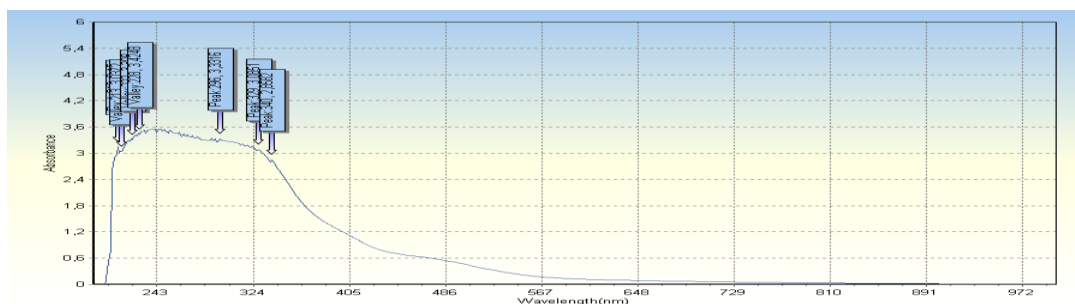


Рис. 1. ЭСП лиганда H_2L^5 в этаноле.

Введение заместителей в бензольное ядро вызывает батохромное или же гипсохромное смещение соответствующих полос поглощения совместно с гиперхромным эффектом. Коротковолновые максимумы поглощения в спектрах лигандов H_2L^2 (бензоилгидразон ферроценоилацетона), H_2L^3 (нитробензоилгидразон ферроценоилацетона) и H_2L^5 (гидразон 5-бромсалициловой кислоты) появляются при 243 нм, 228, 329, 340 и 486 нм соответственно. В спектрах поглощения лигандов H_2L^2 и H_2L^5 батохромное смещение бензольной полосы связано с $\pi \rightarrow \pi^*$ переходами в бензольного кольца.

Таблица 1.

Оптические характеристики МАФ, ФА и лигандов, на основе данных электронных спектров поглощения (растворитель-абсолютный этанол, концентрация 10^{-5} М)

Соединение	$\lambda_{\max}^{\text{abs}}$, нм	$\lambda_{\text{onset}}^{\text{abs}}$, нм	E_g^{opt} , эВ	ϵ , л·моль ⁻¹ ·см ⁻¹
МАФ	256, 369, 450, 480, 536	729	1,7	3,016; 2,65; 2,94
ФА	248, 357, 372, 417, 459	891	1,39	3,06; 2,72; 2,55
H_2L^1	220, 341	650	1,91	2,88; 2,77
H_2L^2	230, 243, 304, 449	650	1,91	3,767; 3,92; 3,3036; 0,7443
H_2L^3	230, 255	730	1,7	2,808; 2,6162
H_2L^4	230, 304, 449	650	1,91	3,767; 3,3036; 0,7443
H_2L^5	243, 228, 329, 340, 486	648	1,92	3,4248; 3,3316; 2,8582; 0,7441
H_2L^6	215, 324	646	1,91	3,31; 3,30
H_2L^7	220, 328	656	1,89	3,314 3,302
$E_g^{\text{opt}} = 1240/\lambda_{\text{onset}}^{\text{abs}}$				

Синтезированные в работе соединения являются хромофорами типа d-π. Посреди полученных лигандов H_2L^2 владеет высоким длинноволновым максимумом поглощения ($\lambda_{\max}^{\text{abs}} = 449$ нм), а у лиганда H_2L^3 значение длинноволнового начала собственного поглощения ($\lambda_{\text{onset}}^{\text{abs}} = 730$) самое высокое, в результате ширина запрещенной зоны этого лиганда имеет наименьшее значение среди синтезированных нами лигандов и составляет 1,7 эВ.

ТРИЭТАНОЛАМИН БИЛАН МОДИФИКАЦИЯЛАНГАН ПОЛИАКРИЛОНИТРИЛ АСОСИДА ҚИЙИН ЁНУВЧАН МАТЕРИАЛ ОЛИШ <i>Қурбонов Х.Ғ.¹, Рўзметов Д.А.¹, Рустамов М.К.², Гафурова Д.А.¹</i>	364
НАНОУГЛЕРОД ОЛИШНИНГ ПИРОЛИЗ УНУМИГА БОҒЛИҚ ЯНГИ УСУЛИ <i>Турсунова Н.Ғ., Муслмонов Н.Х.</i>	366
ФОСФОРСОДЕРЖАЩИЕ АНТИПИРЕНЬ ДЛЯ ПОЛИВИНИЛХЛОРИДА <i>ХАЙДАРОВА Г.Ш., МУХИДДИНОВ Б.Ф., ¹НУРКУЛОВ Ф.Н., ЖУРАЕВ И.И.</i>	369
АКТУАЛЬНОСТЬ ПРОБЛЕМЫ БИОДЕГРАДАЦИИ ПОЛИВИНИЛХЛОРИДА И МАТЕРИАЛОВ НА ИХ ОСНОВЕ <i>МУХИДДИНОВ Б.Ф., ЖУРАЕВ И.И., ИСТАМОВ Х.Й., ВАПОЕВ Х.М.</i>	370
THE PROCESS OF COPOLYMERIZATION OF WITH N-MORPHOLINE-3-CHLOROUS ISOPROPYLACRYLATE METHACRYLIC ACID <i>J.Saidov</i>	372
ИЗОТЕРМА И ДИФФЕРЕНЦИАЛЬНЫЕ ТЕПЛОТЫ АДсорбЦИИ <u>Н-ГЕКСАНА НА ЦЕОЛИТЕ Cu²⁺ZSM-5</u> <i>Бахронов Хаёт Нулович</i>	365
ПОЛИЭТИЛЕН АСОСИДА ОЛИНГАН КОМПОЗИЦИОН МАТЕРИАЛЛАРНИНГ ТУЗИЛИШИ ВА ХОССАЛАРИНИ ЎРГАНИШ <i>Нуралиев Г.Т., Тожиёв П.Ж., Тураев Х.Х., *Джалилов А.Т.</i>	376
ПОЛИЭТИЛЕННИ АММОФОС ВА МЕТАЛЛ ОКСИДЛАРИ БИЛАН МОДИФИКАЦИЯЛАШ ЖАРАЁНИ <i>Нуралиев Г.Т., Тожиёв П.Ж., Тураев Х.Х., *Джалилов А.Т.</i>	377
ЭКОЛОГИК ЭКСПЛУАТАЦИОН ХУСУСИЯТИ ЯХШИЛАНГАН ЁҚИЛҒИ КОМПОЗИЦИЯЛАРИНИ ОЛИШ <i>Облобердиев С.Б., Эшмухамедов М.А.</i>	379
ОПТИЧЕСКИЕ СВОЙСТВА β-ДИКАРБОНИЛЬНЫХ ПРОИЗВОДНЫХ ФЕРРОЦЕНА <i>Умаров Б.Б., Сулаймонова З.А.</i>	383
ТАБИЙ ВА СИНТЕТИК КАУЧУКЛАРДАН РЕЗИНА МАҲСУЛОТЛАР ИШЛАБ ЧИҚАРИШИДА КОАГУЛЯЦИЯ ЖАРАЁНИНИНГ СИФАТГА БОҒЛИҚЛИГИ <i>Яхшиқулов Искандар Сафарович</i>	385
МЕТАЛЛ ОРГАНИК МОДИФИКАТОРЛАРНИ ОЛИШ ВА ФИЗИК-КИМЁВИЙ ХОССАЛАРИНИ ТАДҚИҚ ЭТИШ <i>Ж.Т.Мирзамаҳмудов, А.Т.Джалилов</i>	386
ЭЛЕКТРОПРОВОДНОСТЬ ПОЛИМЕРНЫХ КОМПОЗИЦИОННЫХ МАТЕРИАЛОВ НА ОСНОВЕ ПОЛИПИРРОЛА <i>Raximberdiyeva M.K., Kalbayev S.Ye., Kattayev N.T., Akbarov H.I.</i>	387
КУЧЛИ АСОСЛИ АНИОНИТЛАРНИНГ СУВЛИ ЭРИТМАЛАРДАН БЎКИШ ЖАРАЁНИ ТЕРМОДИНАМИКАСИНИ ЎРГАНИШ <i>Саидов И.А., Турсунова Г.Х., Тробов Х.Т., Жўраева Р.А., Каримов Ҳ.Р.</i>	389
СИНТЕЗ НАНОКОМПОЗИЦИЙ ДИОКСИДА ТИТАНА ЗОЛЬ-ГЕЛЬНЫМ МЕТОДОМ <i>^{1,3}Турсунов Ф.Х., ²Рахмонов Ж.А., ³Донг К.</i>	390
ФИЗИКО-ХИМИЧЕСКИЕ И СПЕКТРАЛЬНЫЕ ХАРАКТЕРИСТИКИ СУПРАМОЛЕКУЛЯРНЫХ КОМПЛЕКСОВ АНТИАРИТМИЧЕСКОГО ПРЕПАРАТА АМИОДАРОН С ГЛИЦЕРРИЗИНОВОЙ КИСЛОТОЙ И ЕЕ МОНОАММОНИЙНОЙ СОЛЮЮ <i>В.В. Узбеков, Х.Т. Сайдуллаева, Р.С. Эсанов, Х.А. Юлдашев, М.Б. Гафуров, Ю.И. Ощепкова, Ш.И. Салихов</i>	391
O-g-C3N4/Fe2O3 КОМПОЗИТ ФОТОКАТАЛИЗАТОРИ СИНТЕЗИ ВА ИҚ СПЕКТРОСКОПИЯ ТАҲЛИЛИ <i>Ш.М. Ўринова, Г.Б. Сидрасулиева, Н.Т. Каттаев, Х.И. Акбаров.</i>	393